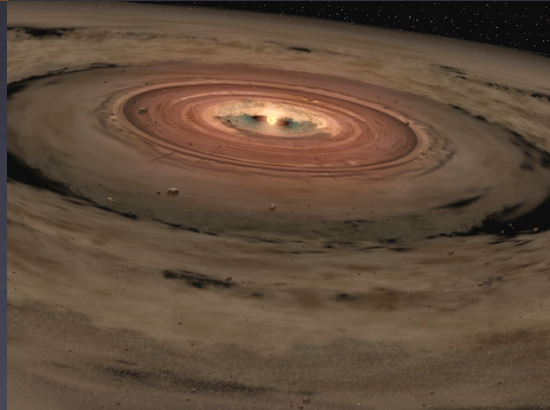
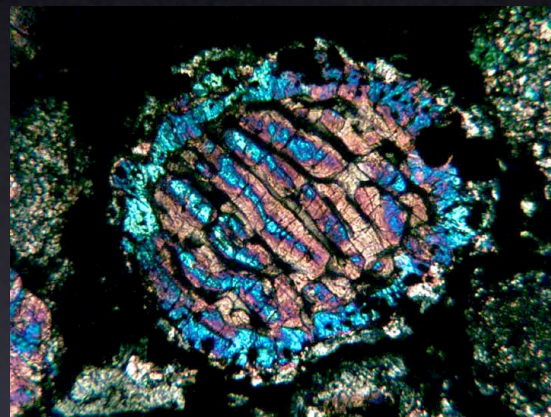


# 原始惑星系円盤における水の挙動

Ciesla, F. J. & Cuzzi, J. N. 2006. Icarus 181, 178 のレビュー



福井 隆

DM2 Seminar, Jun. 22, 2006

# 目次

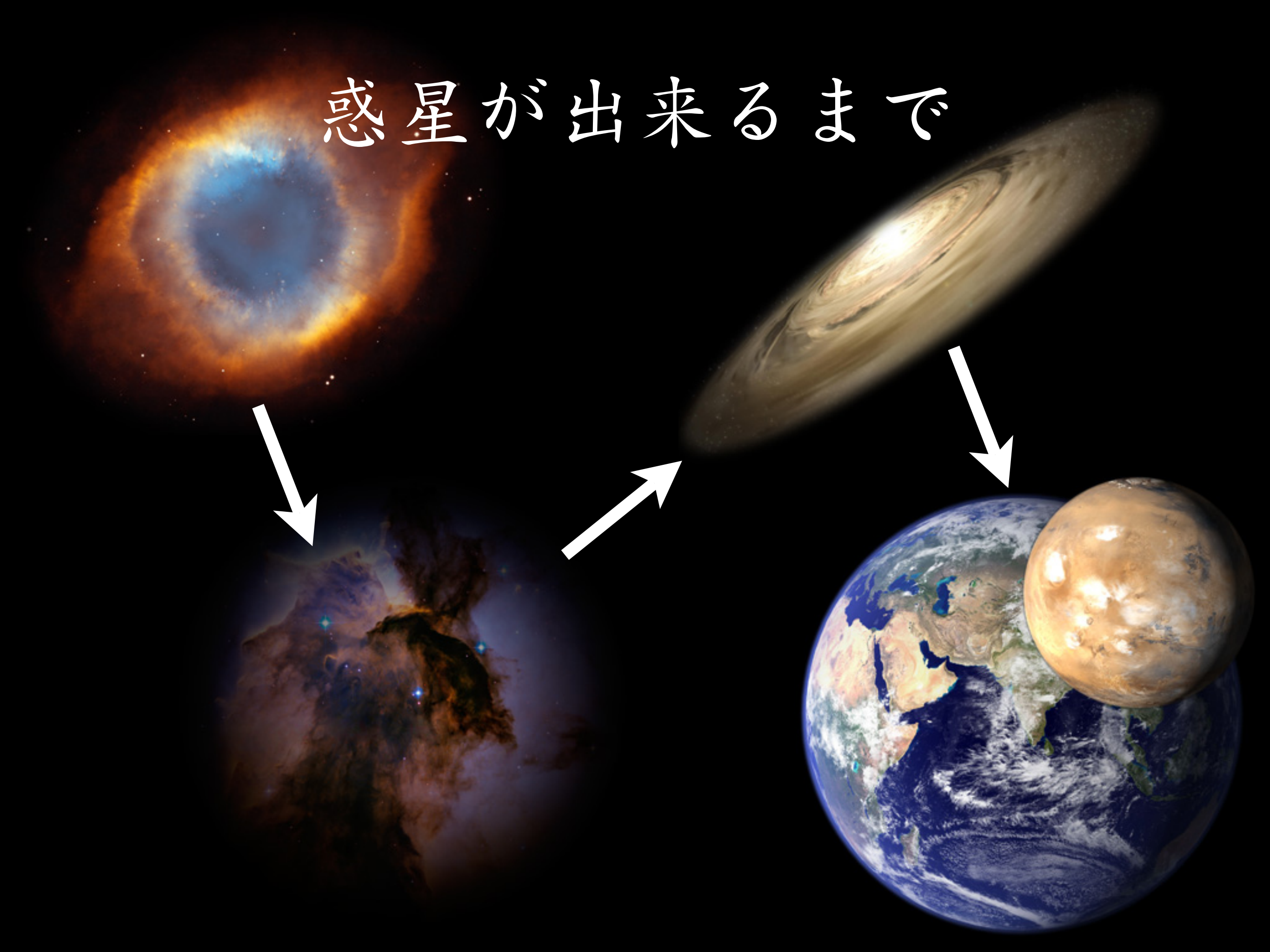
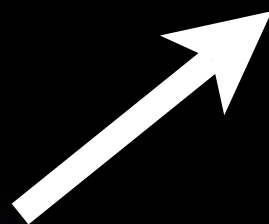
- 📌 Introduction 1 ... 大きな研究背景
- 📌 Introduction 2 ... 現在の研究・本日の話題
  - 📌 円盤の力学的・組成的進化プロセス
  - 📌 Ciesla & Cuzzi (2006) のレビュー



# 1. 大きな研究背景

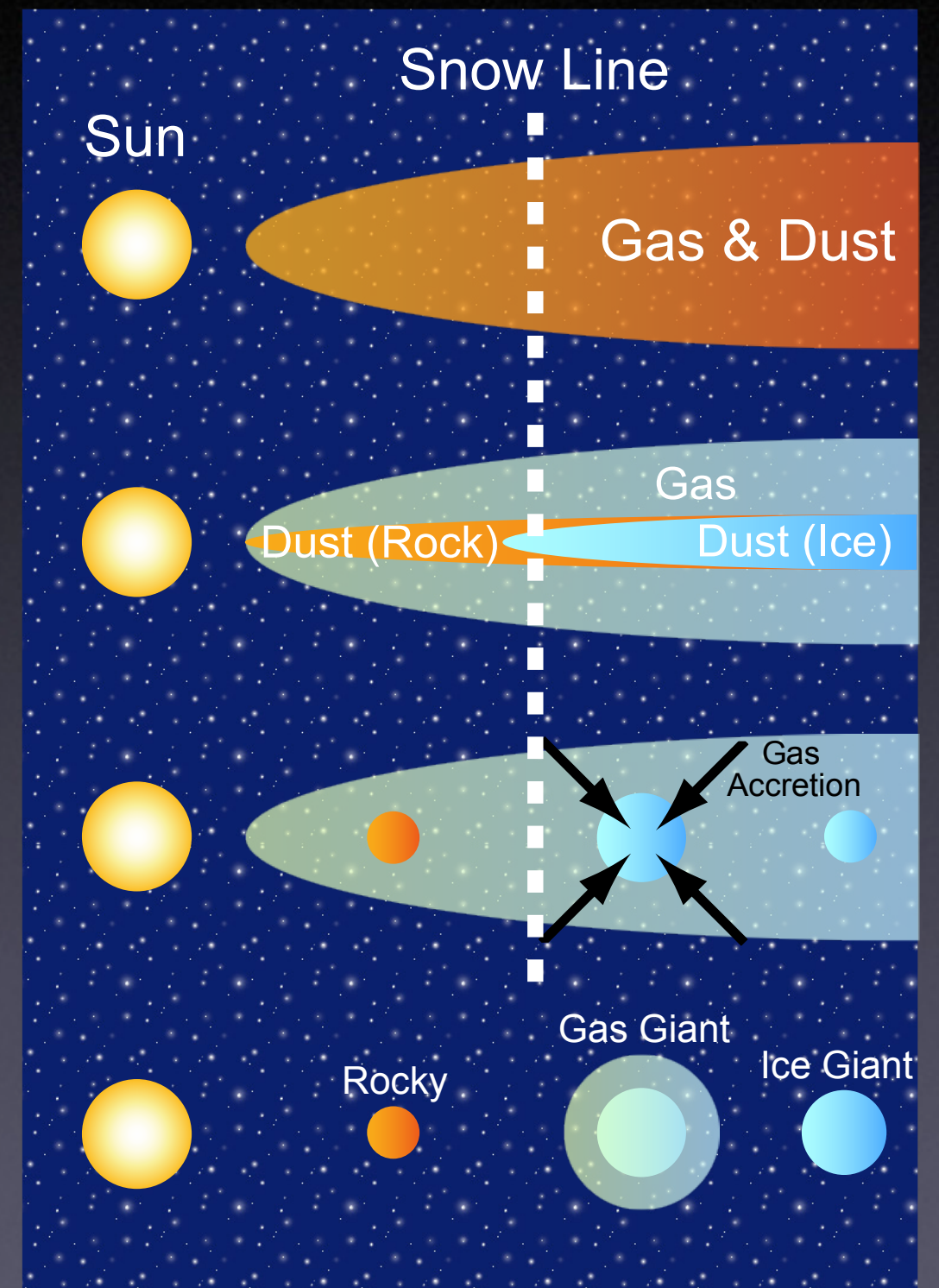
---

惑星が出来るまで



# 惑星系形成の標準モデル

- Hayashi et al. (1985) 他が1980年代に構築.
- 各種惑星の形成, その配置などが説明可能.
- 問題もあるけれど...
  - “復元モデル” な問題
  - ダスト落下問題
  - 微惑星形成問題
  - “異形の惑星” 問題
- 原始惑星系の組成進化にはあまり言及していない.



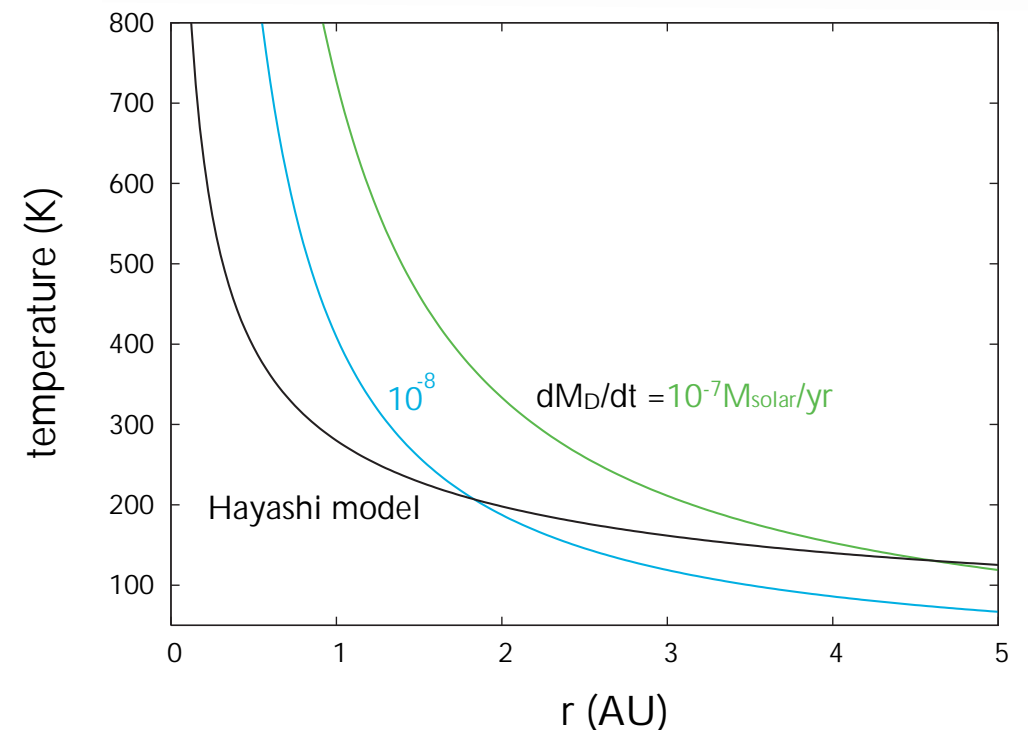
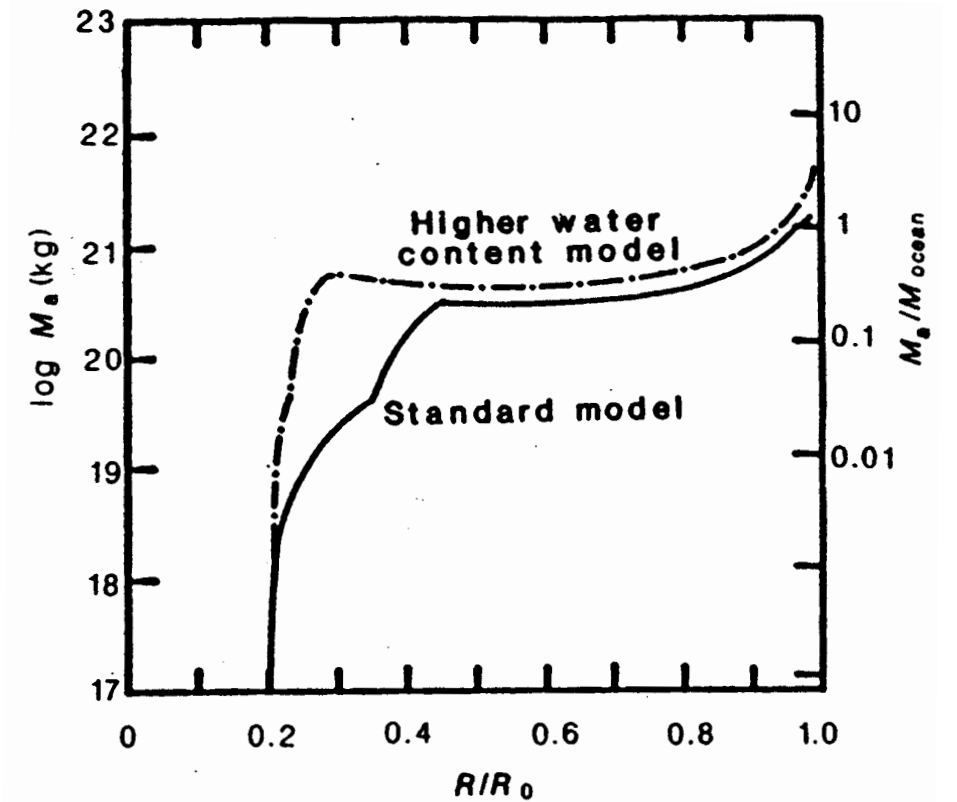
# なぜ組成進化か — habitability への影響

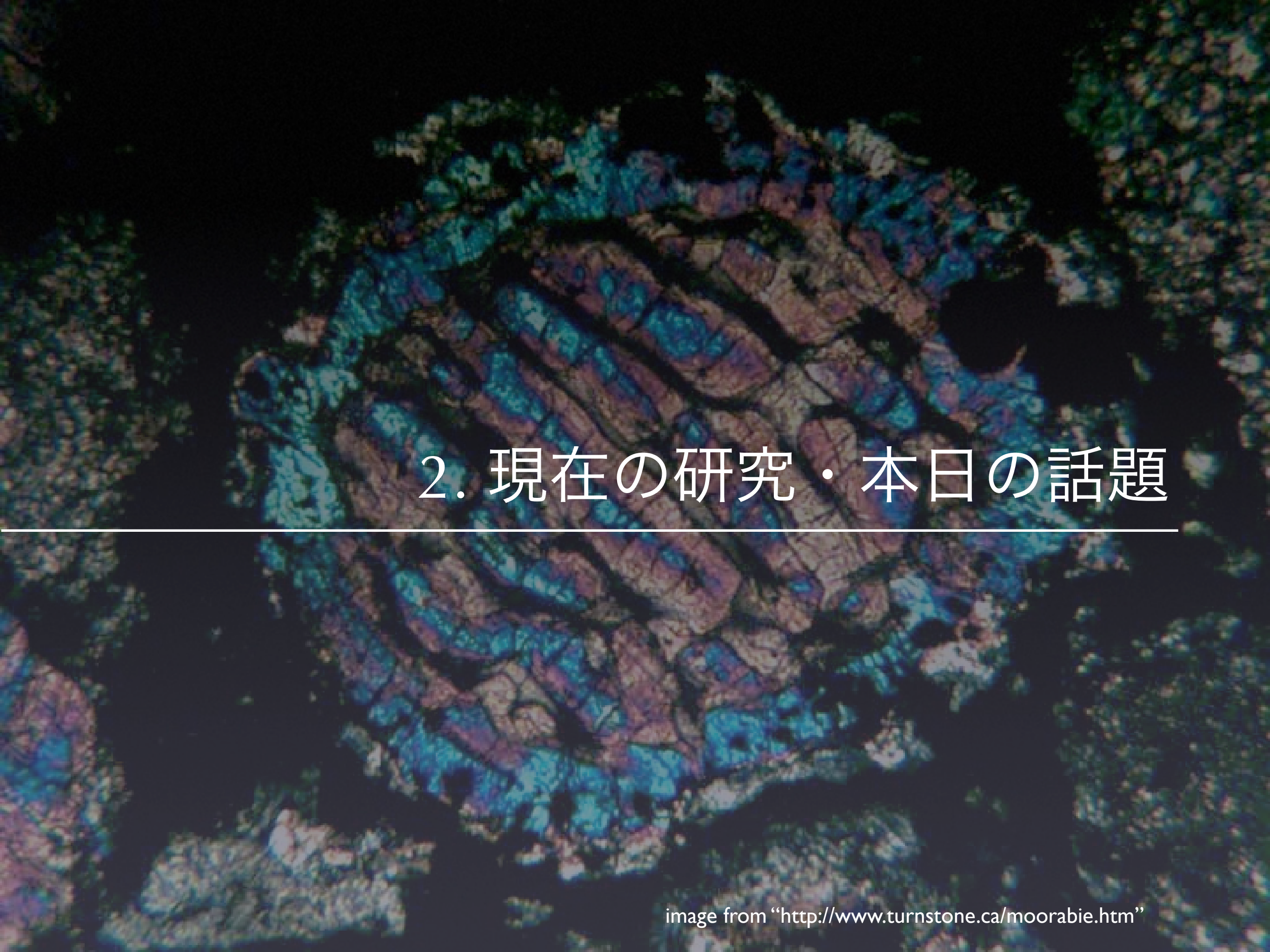
## 地球の海の起源

- Matsui & Abe (1986) ...  
含水率 0.1~1 % の微惑星を  
仮定, 現在の海水量を説明.
- 初期の円盤温度  $> 1000$  K,  
岩水鉱物は存在不可.

## 地球の有機物の起源

- C コンドライト or 彗星?
- 非親生元素の組成も重要
- e.g., 広瀬君 DM2 ゼミ
- 鉱物組成にも C, O が影響.



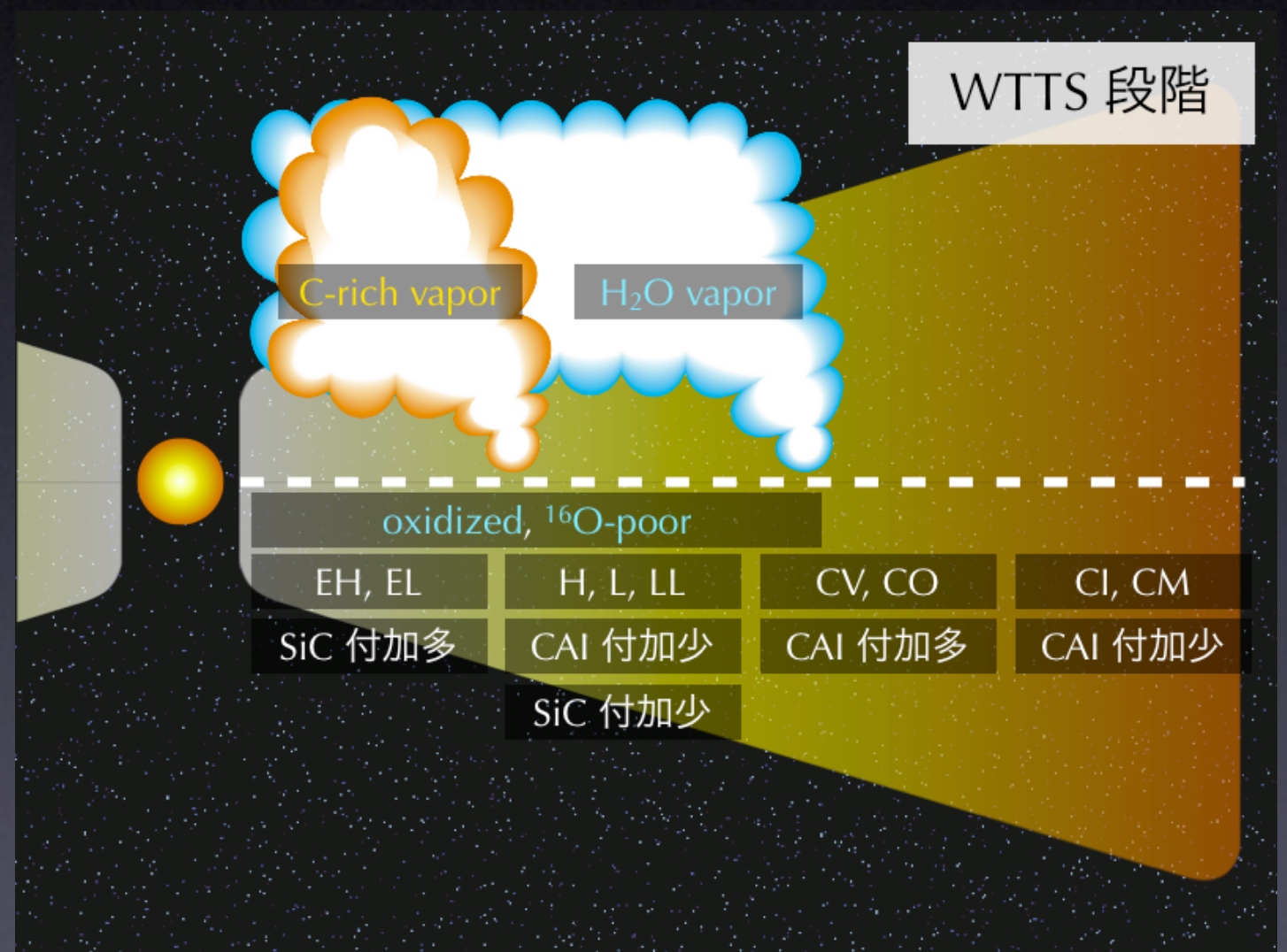


## 2. 現在の研究・本日の話題

---

# 現在行っている研究

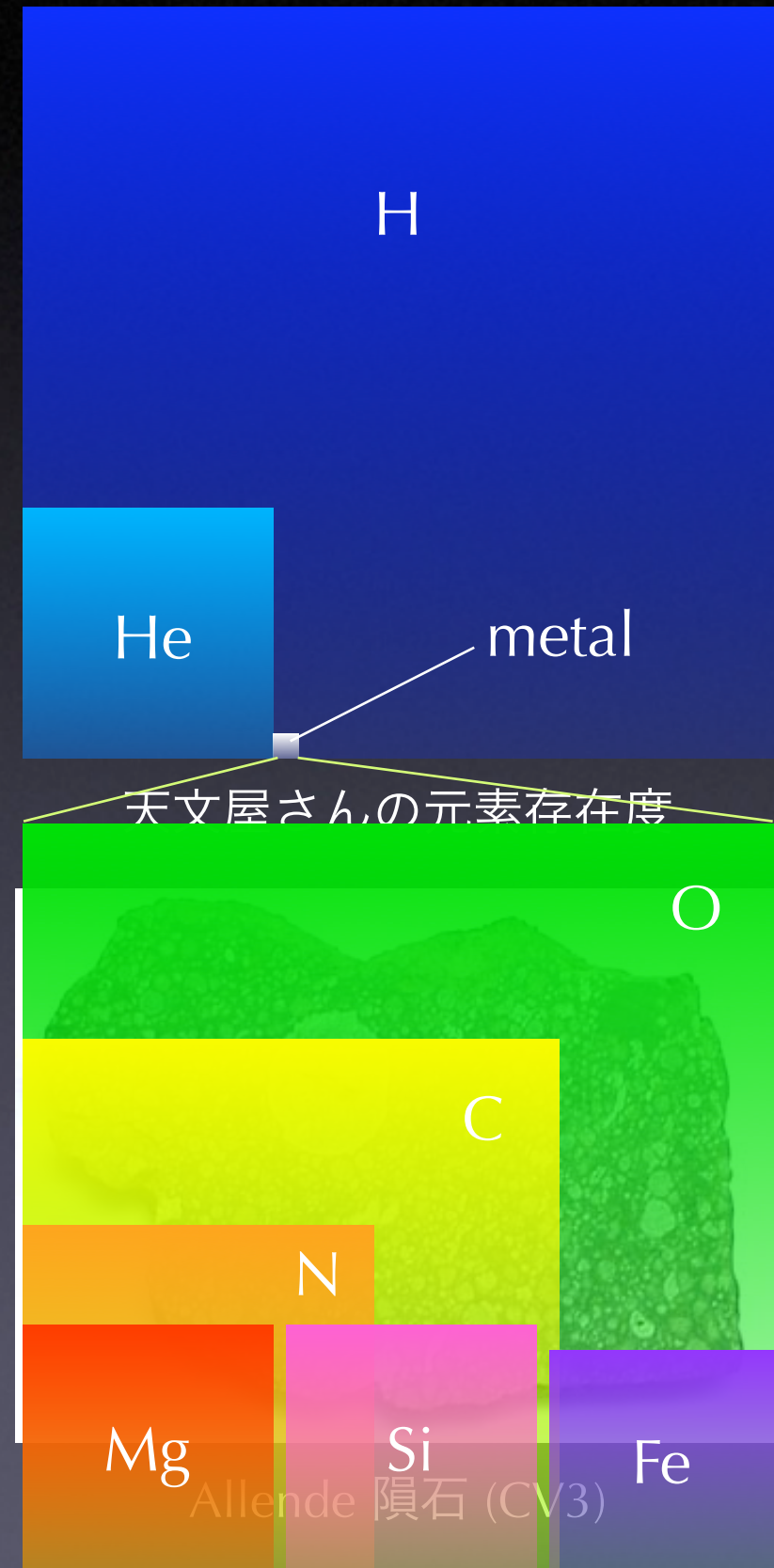
- 📌 時代と場所：  
降着期の原始惑星系円盤
  - 📌 惑星形成の初期状態を決定.
- 📌 力学的進化に伴う組成進化過程の解明.
  - 📌 ガスーダスト間の動径分別
  - 📌 ダストの蒸発
  - 📌 蒸気の移流拡散による輸送
- 📌 元素 C, O に注目.
  - 📌 C ... 有機物, CO
  - 📌 O ... H<sub>2</sub>O, 珪酸塩, CO



# 現在行っている研究

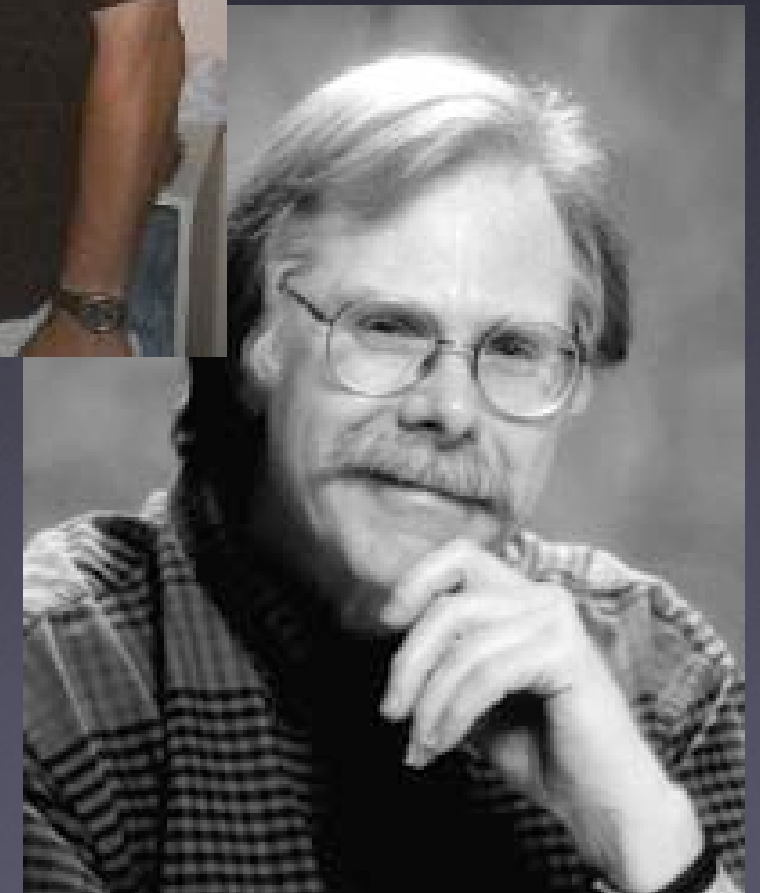
## 📌 なぜ C, O か？

- 📌 豊富な元素 (C は全元素中 4 番目. O は全元素中 3 番目, 固体中では最多.)
- 📌 円盤環境下において, 固・気・(液) 各相に存在 (特に O).
- 📌 形成される鉱物組成が酸素分圧に強く依存.
- 📌 制約条件: コンドライト物質
  - 📌 惑星形成以前の情報を保持.
  - 📌 多様な酸化還元状態, 酸素同位体組成を持つ円盤環境を示唆.



# 本日の話題

- Ciesla & Cuzzi (2006)
- H<sub>2</sub>O の挙動にフォーカス
  - 外惑星領域 ...  
固相の主要な構成成分
  - 内惑星領域 ...  
円盤の化学に影響
- 得られた結果
  - H<sub>2</sub>O の分配による  $\tau$  の変動が  
力学的進化にフィードバック.
  - snow line 背面に固体が濃集,  
Gas Giant 形成に寄与.
  - 内惑星領域の酸素分圧,  
酸素同位体組成の変動を示唆.



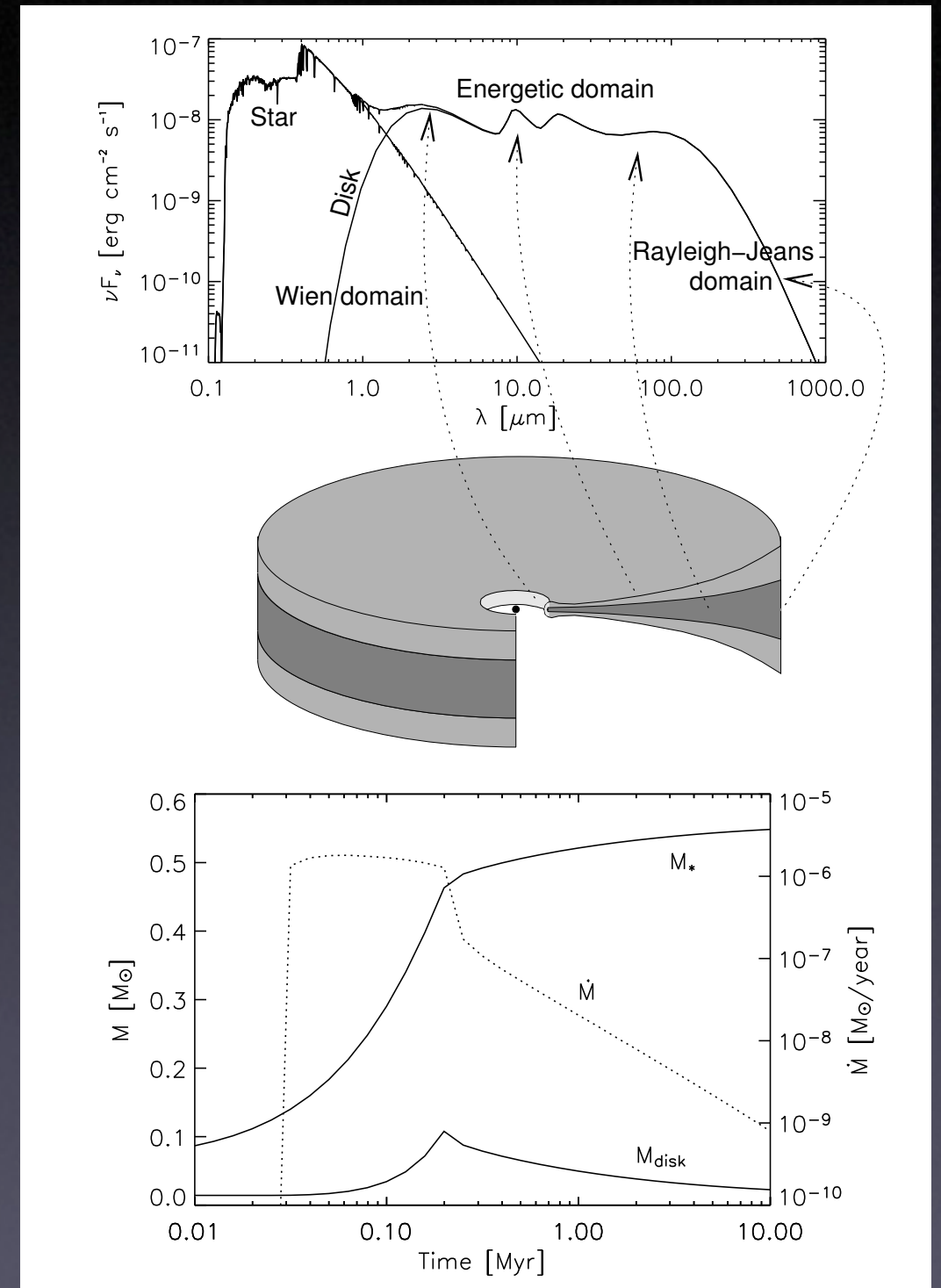


# 3. 円盤の力学的・ 組成的進化プロセス

---

# 原始惑星系円盤の観測

- CTTS 段階における質量降着
- スペクトルの赤外線超過 ...  
円盤の重力エネルギー解放
- 物質・角運動量輸送の存在
- $10^{-8} M_{\text{solar}}/\text{yr}$  @  $10^6$  old TTS
- ダストの成長・沈殿
- 遠赤外域でフラックス小
- edge-on disk が少ない
- 表層 ... sub-micron ダスト
- 中心面 ... mm ダスト



Dullemond et al. (2006)

# 降着円盤の力学

- 粘性による物質・運動量輸送

- 粘性による剪断応力

$$\tau_{r\phi} = \rho\nu r \frac{d\Omega_K}{dr}$$

- 物質は内側, 角運動量は外側へ

$$\frac{\partial \Sigma_g}{\partial t} - \frac{3}{r} \frac{\partial}{\partial r} \left[ r^{1/2} \frac{\partial}{\partial r} (\Sigma_g \nu r^{1/2}) \right] = 0$$

- 乱流粘性と  $\alpha$  モデル

- 乱流の成因はまだ不明.

- 分子粘性から類推:

$$\nu_{\text{mol}} \propto v_{\text{th}} l$$

$$\nu \equiv \alpha c_s H$$

時間切れ...

# 円盤の温度

## 表面温度 (有効温度)

- 降着によるエネルギー解放との釣り合い:

$$T_{\text{eff}}^4 = \frac{1}{8\pi\sigma_{\text{SB}}} \frac{GM_{\odot}}{r^3} \dot{M}_{\text{disk}}$$

## 中心面温度

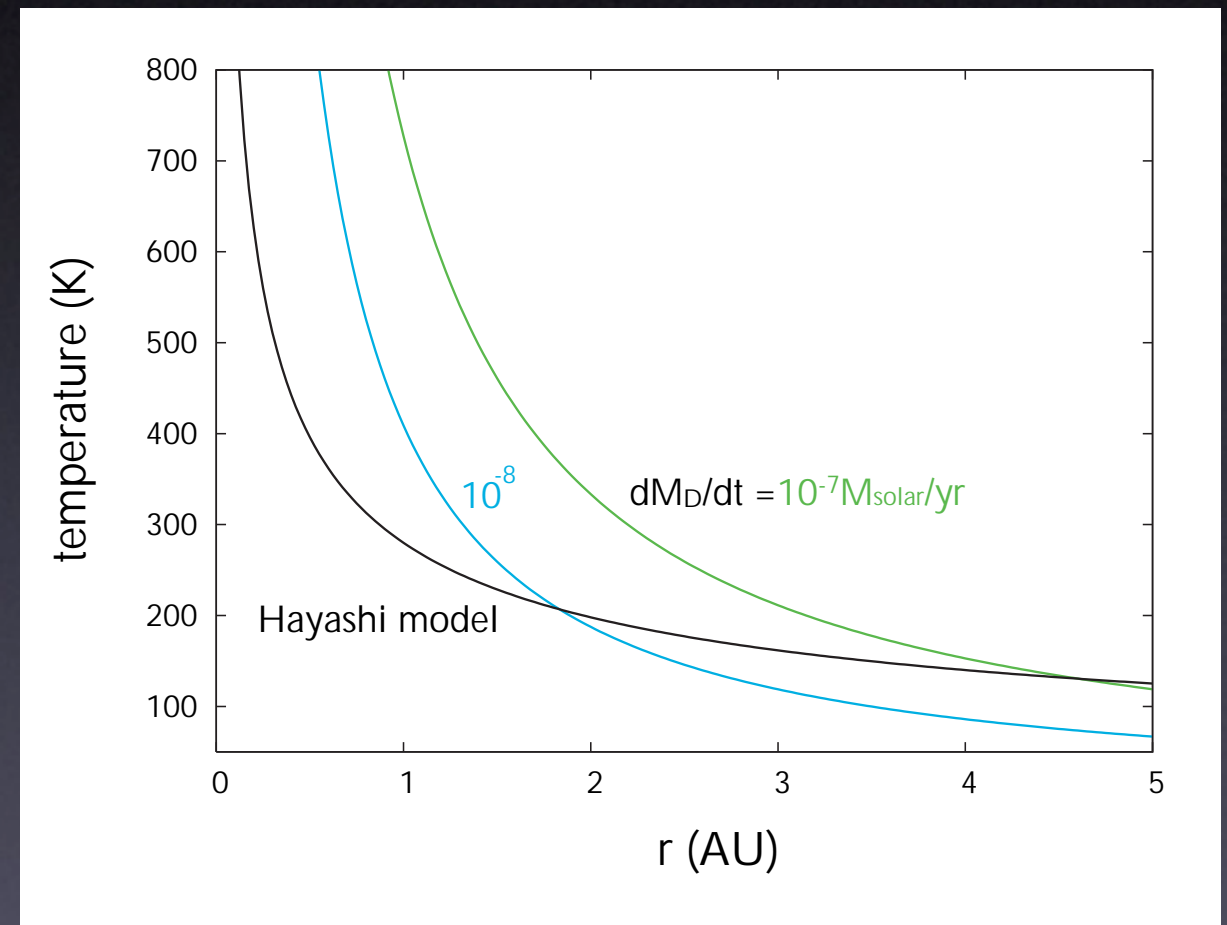
- $\tau$ , ひいては  $\kappa$  に依存.

$$T_{\text{m}}^4 = \frac{3}{4} \tau T_{\text{eff}}^4 \quad \tau = \frac{\kappa \Sigma}{2}$$

- $\kappa$  の担い手: 微小ダスト ( $\mu\text{m}$ )

## 円盤の力学に与える影響

$$\nu \propto c_s H \propto c_s^2 \propto T_{\text{m}}$$



# ガスーダスト動径分別過程

## 📌 分別の原因

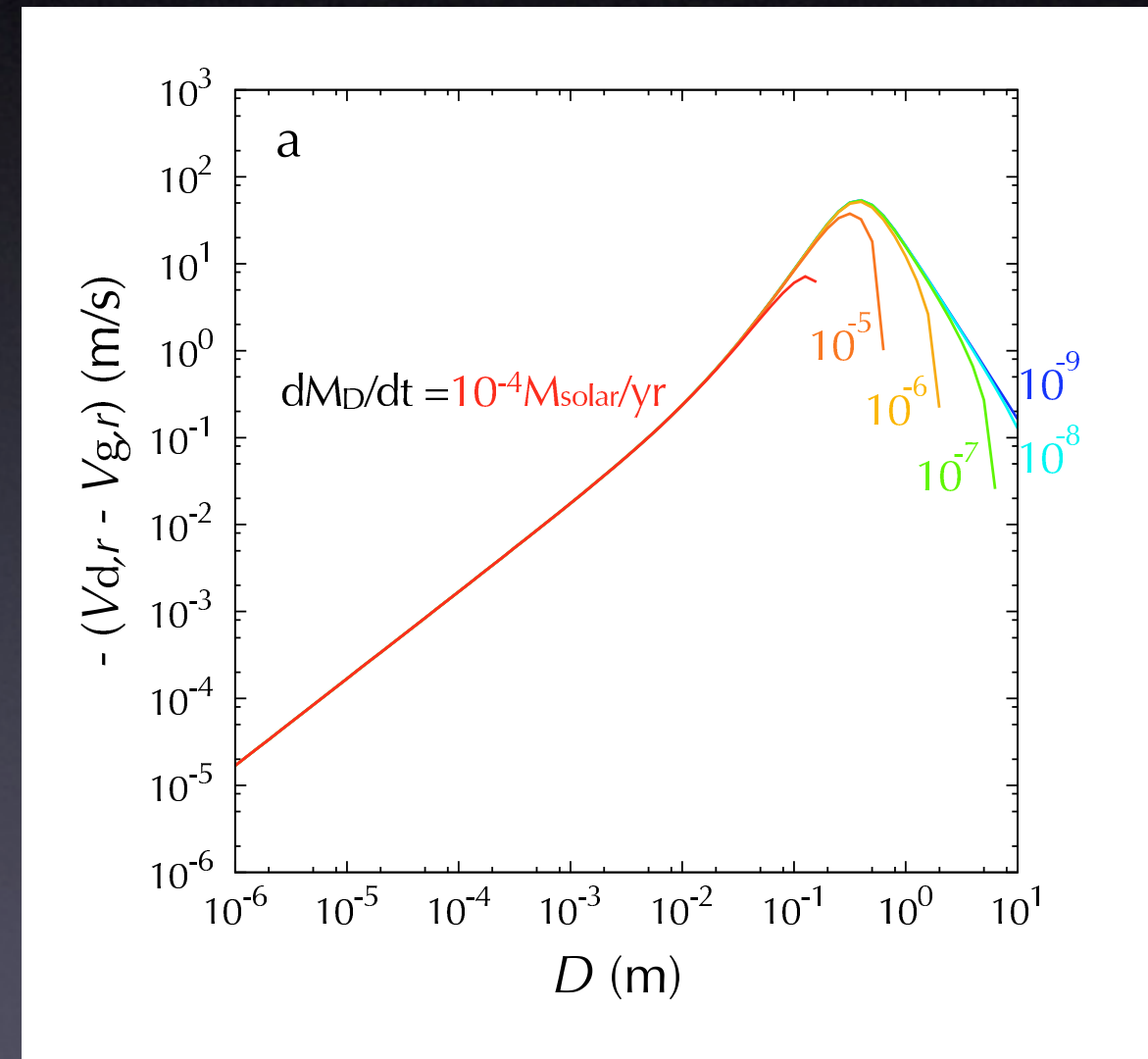
- 📌 ガスは Kepler motion よりも ゆっくり回転

$$\frac{v_{g,\phi}^2}{r} = \frac{1}{\rho_g} \frac{\partial P}{\partial r} + \frac{GM_\odot}{r^2} \quad \frac{v_{d,\phi}^2}{r} = \frac{GM_\odot}{r^2}$$

- 📌 ダストは  $\phi$  方向に “向かい風” を受けることにより動径落下.

## 📌 ダストサイズ依存性

- 📌 cm 以下 ... ガスと一緒に運動.
- 📌 m ... 最も速く動径落下.
- 📌 km 以上 ... ガスと独立に運動.



# ダストの蒸発による組成変化

## H<sub>2</sub>O の場合 :

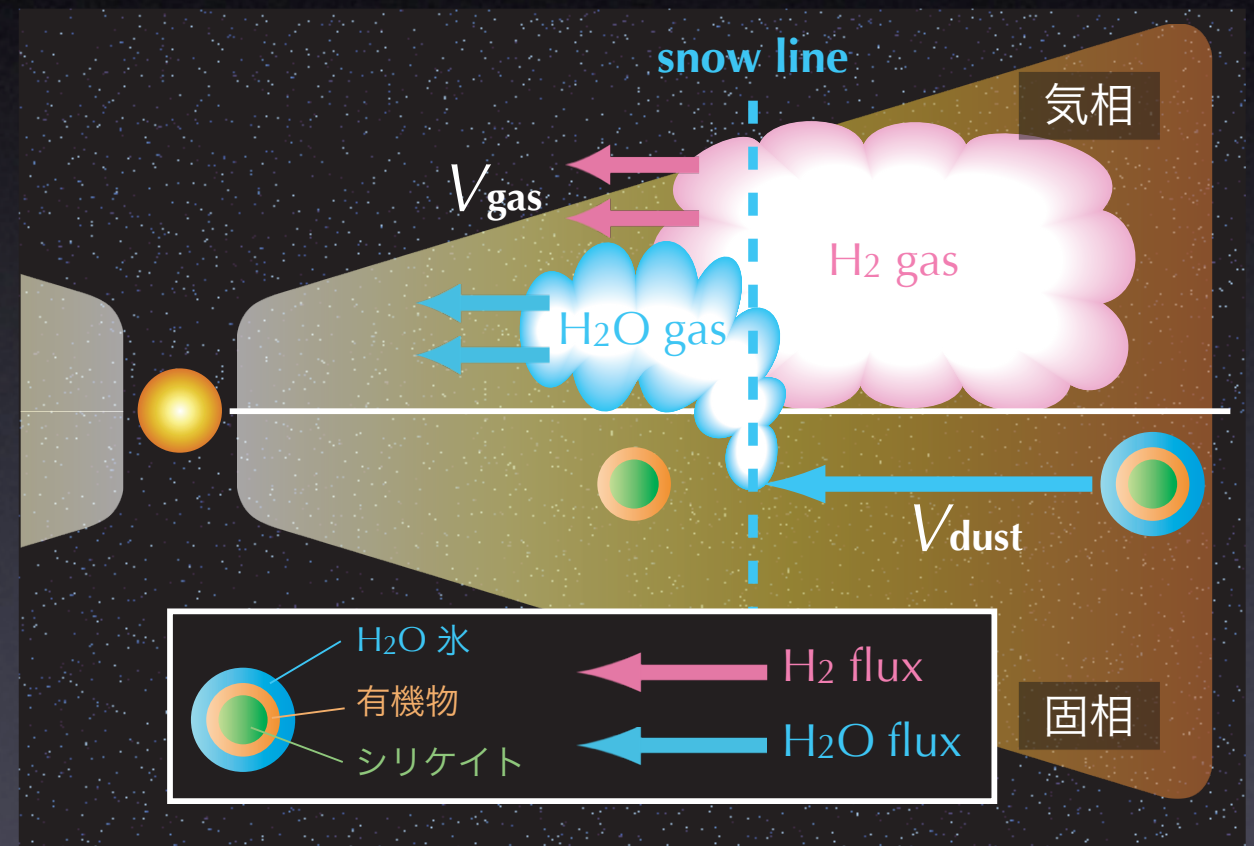
### snow line での flux 保存

$$v_{g,r} \Sigma_{\text{H}_2\text{O}}(r_e - \epsilon) = v_{d,r} \Sigma_{\text{H}_2\text{O}}(r_e + \epsilon)$$

### 輸送速度の減少により, snow line 内側で水蒸気濃度が増加.

## 円盤全域の組成進化

### 濃度勾配による拡散, 円盤ガスの移流により他領域へ輸送.



$$\frac{\partial C_i}{\partial t} + v_{g,r} \frac{\partial C_i}{\partial r} - \frac{1}{r \Sigma_g} \frac{\partial}{\partial r} \left( r D \Sigma_g \frac{\partial C_i}{\partial r} \right) = S_i$$

A satellite view of Earth showing the Middle East and surrounding regions, including the Mediterranean Sea, the Red Sea, and the Persian Gulf. The text is overlaid on the image.

## 4. Ciesla & Cuzzi (2006) のレビュー

---

# 固体の種族分け

分類の指標：Stokes 数

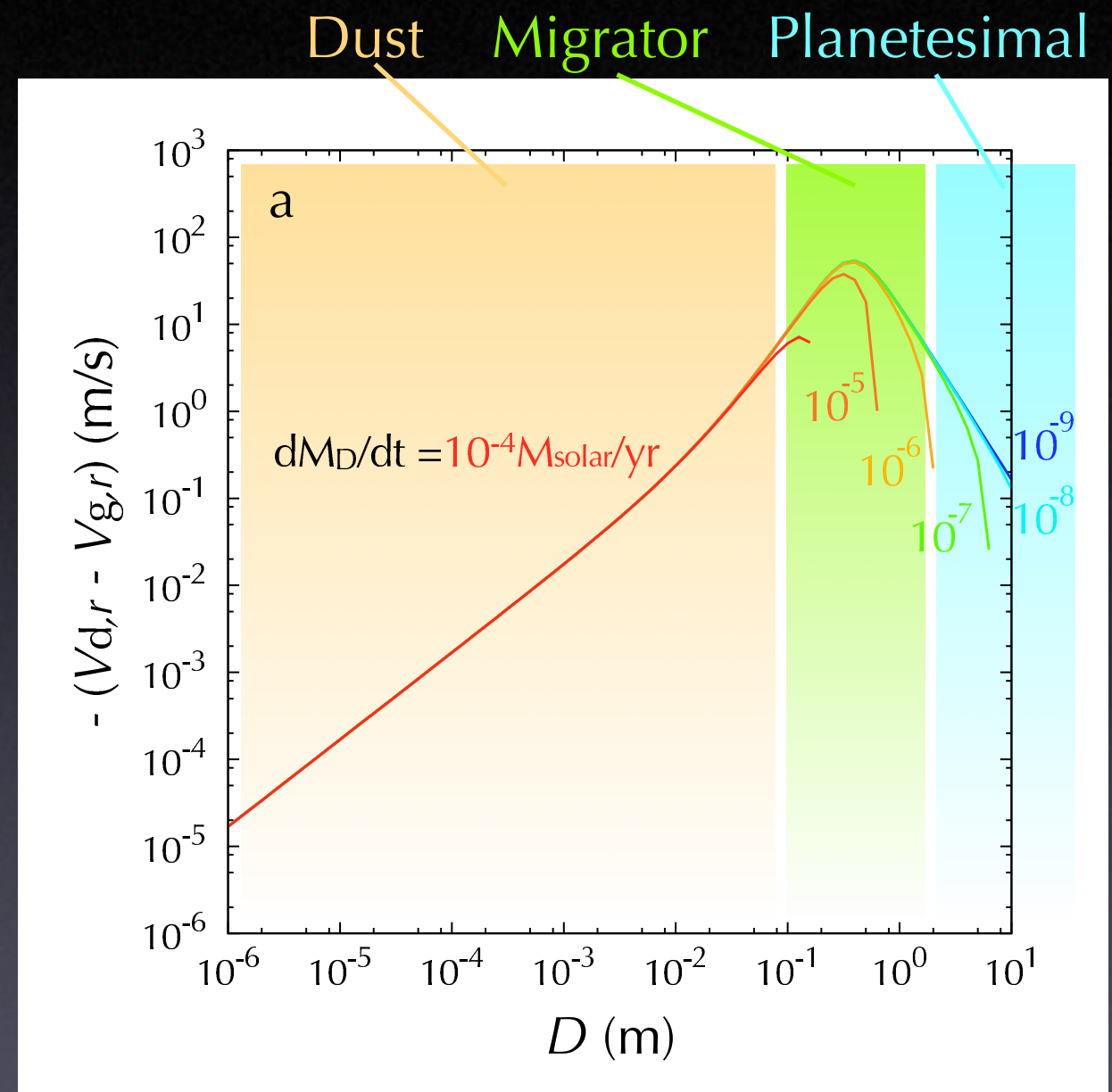
$$St = \frac{t_{\text{stop}}}{\Omega_K} \quad t_{\text{stop}} = \frac{m\Delta v}{A\rho_g m\Delta v}$$

Epstein 則 ( $a < l$ )      Stokes 則 ( $a > l$ )

$$A = \frac{c_s}{\rho a}$$

$$A = \frac{3lc_s}{2\rho a^2}$$

- 📌 Dust ( $D \sim 1\text{cm}, St < 1$ )
  - 📌 ガスと一緒に移動,  
円盤の光学的厚さに寄与.
- 📌 Migrator ( $D \sim 1\text{m}, St = 1$ )
  - 📌 動径速度大, 濃集過程の担い手.
- 📌 Planetesimal ( $D \sim 1\text{ km}, St > 1$ )
  - 📌 一度形成されると不動.



# 各物質の面密度進化

## 📌 水蒸気

$$\frac{\partial \Sigma_{\text{vap}}}{\partial t} = \frac{3}{r} \frac{\partial}{\partial r} \left[ r^{1/2} \frac{\partial}{\partial r} (\Sigma_{\text{vap}} \nu r^{1/2}) \right] + S_{\text{vap}}(r, t)$$

## 📌 Dust

$$\frac{\partial \Sigma_d}{\partial t} = \frac{3}{r} \frac{\partial}{\partial r} \left[ r^{1/2} \frac{\partial}{\partial r} (\Sigma_d \nu r^{1/2}) \right] + S_d(r, t) \quad \dots \text{ガスと couple して拡散}$$

## 📌 Migrator

$$\frac{\partial \Sigma_m}{\partial t} = \frac{3}{r} \frac{\partial}{\partial r} \left[ r^{1/2} \frac{\partial}{\partial r} (\Sigma_m \nu_m r^{1/2}) \right] + S_m(r, t) \quad \dots \text{弱い拡散} \quad \nu_m = \frac{\nu}{1 + St}$$

$$\frac{\partial \Sigma_m}{\partial t} = -\frac{1}{r} \frac{\partial}{\partial r} (r v_{\text{drag}} \Sigma_m) \quad \dots \text{ガス抵抗による落下}$$

## 📌 Planetesimal

$$\frac{\partial \Sigma_p}{\partial t} = S_p(r, t) \quad \dots \text{一度形成されると不動.}$$

# Sources & Sinks

凝縮過程 : 水蒸気 → Dust

$$\Delta\Sigma_d^{\text{condense}} = (P_{\text{vap}} - P_{\text{eq}})2H \frac{m_{\text{H}_2\text{O}}}{kT}$$

蒸発過程 : Dust, Migrator → 水蒸気

$$\Delta\Sigma_m^{\text{vaporize}} = \Sigma_m \frac{dm_m}{dt} \frac{\Delta t}{m_m}$$

$$\frac{dm_m}{dt} = -4\pi a^2 m_{\text{H}_2\text{O}} Z(T)$$

Dust 同士の衝突による Migrator 生成 :

Dust → Migrator

$$\Delta\Sigma_m^{\text{coag}} = \Sigma_d (1 - e^{-\Delta t/t_{\text{coag}}})$$

Dust を食べて Migrator 成長 :

Dust → Migrator

$$\Delta\Sigma_m^{\text{acc}} = \frac{\pi a_m^2 v_r \Sigma_d \Sigma_m}{H m_m} \Delta t$$

Migrator 同士の衝突による破壊 :

Migrator → Dust

$$\Delta\Sigma_m^{\text{disrupt}} = -\frac{f\pi a_m^2 \Sigma_m^2 v_t}{2H m_m} \Delta t$$

Migrator 同士の衝突による Planetesimal 生成 :

Migrator → Planetesimal

$$\Delta\Sigma_p^{\text{accretion}} = \Sigma_m (1 - e^{-\Delta t/t_{\text{acc}}})$$

Dust, Migrator を食べて Planetesimal 成長 :

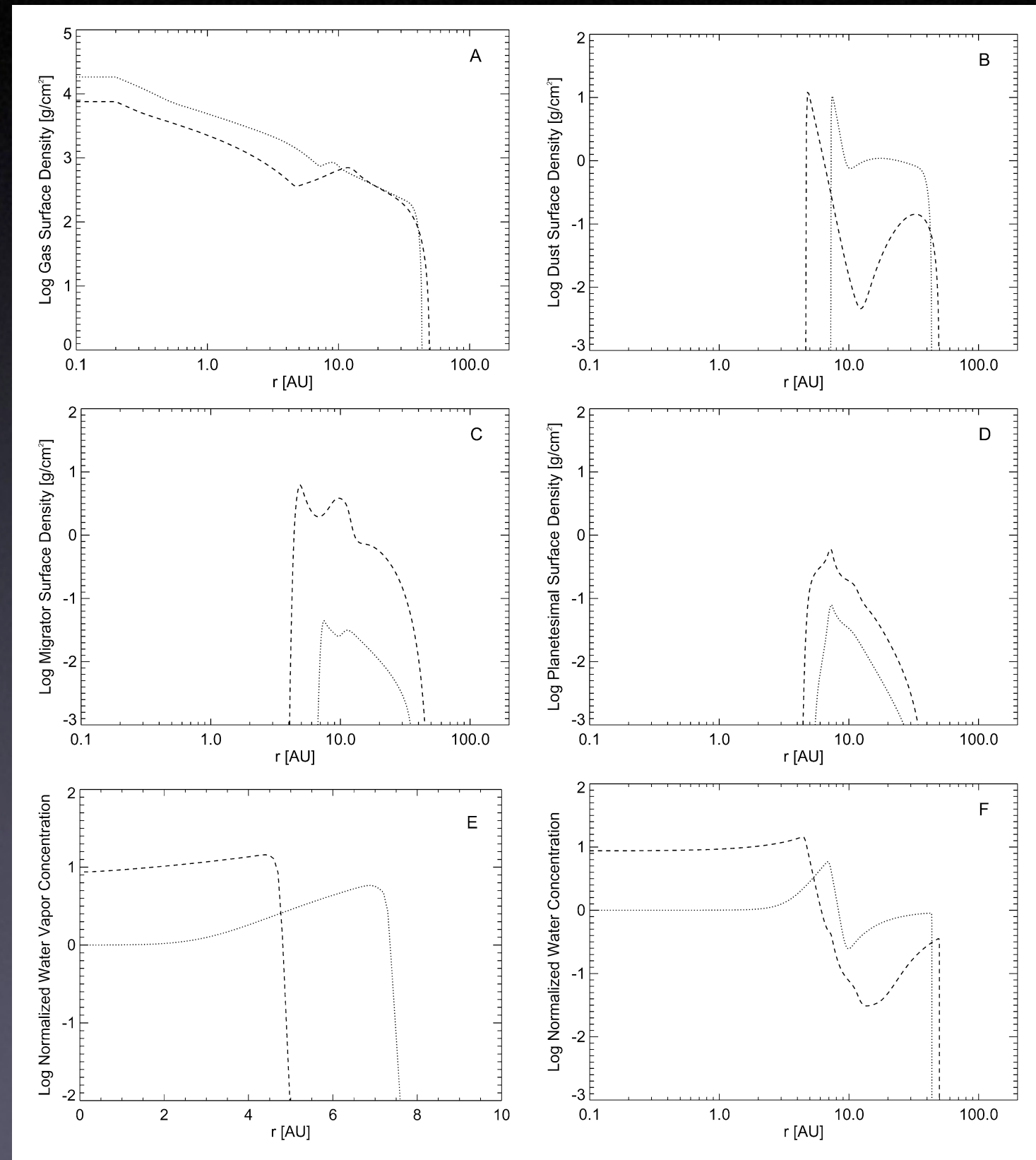
Dust, Migrator → Planetesimal

$$\Delta\Sigma_d^p = -\frac{\pi a_p^2 \Delta v_{p,d} \Sigma_d \Sigma_p}{H_d m_p} \Delta t$$

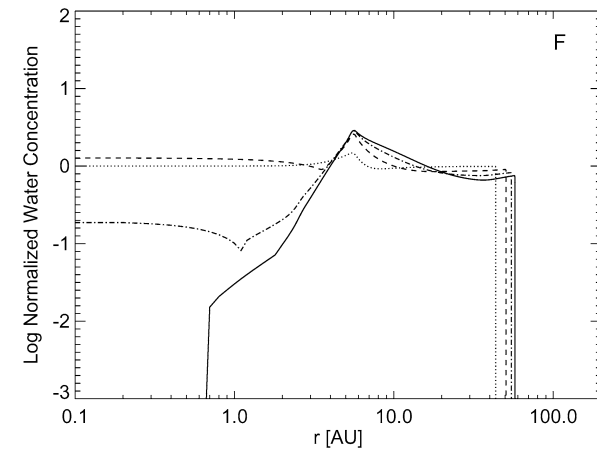
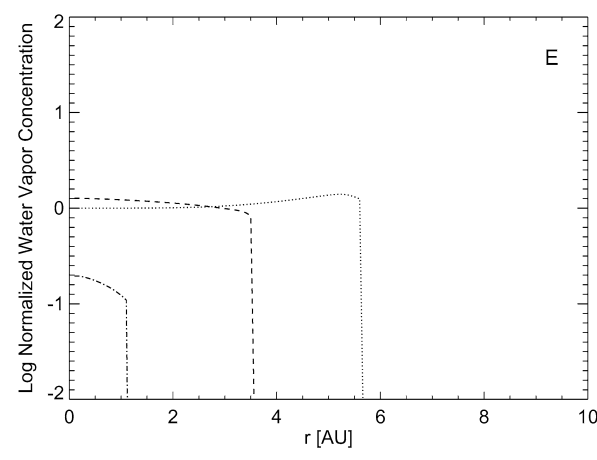
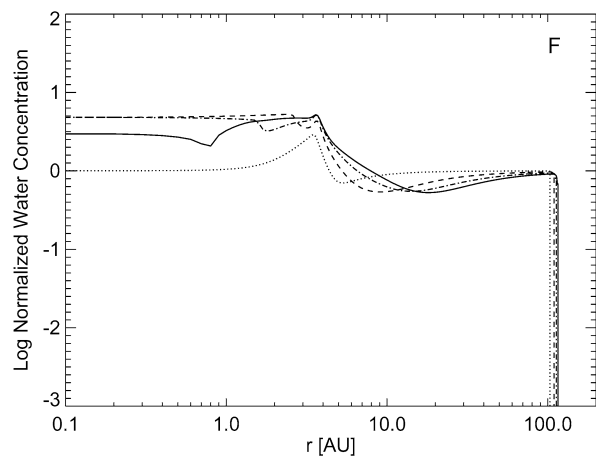
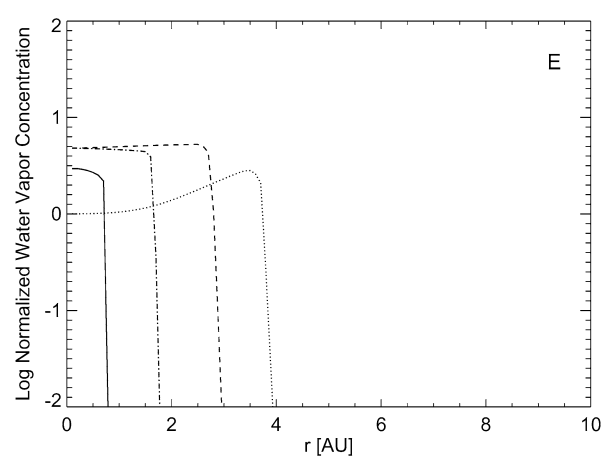
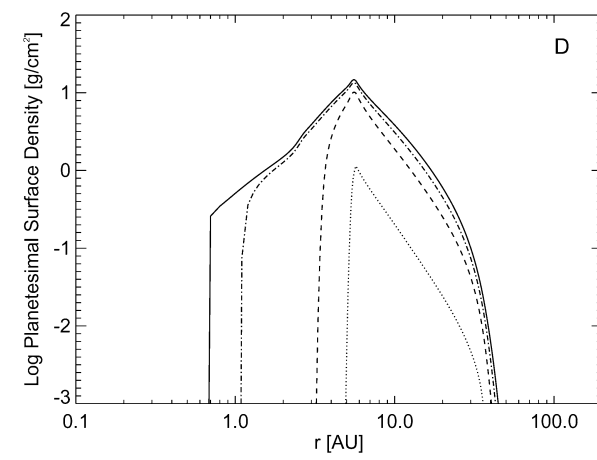
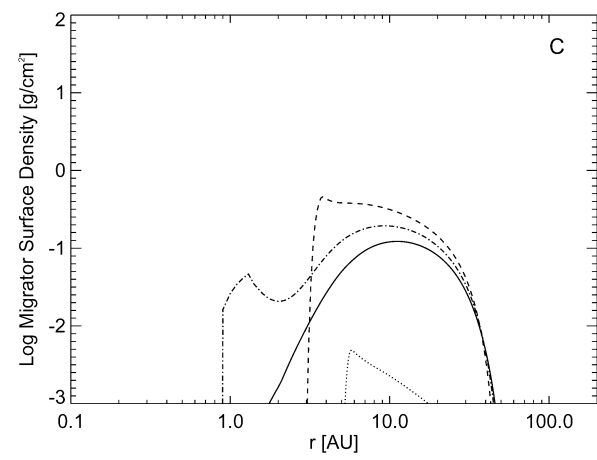
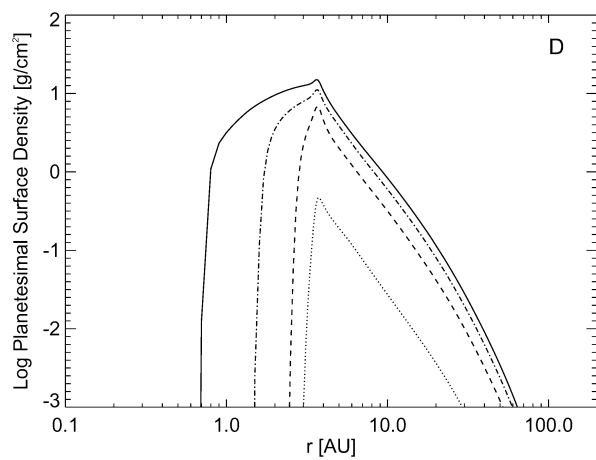
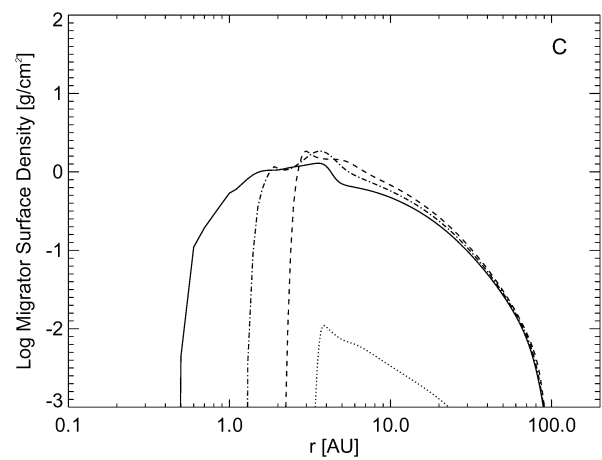
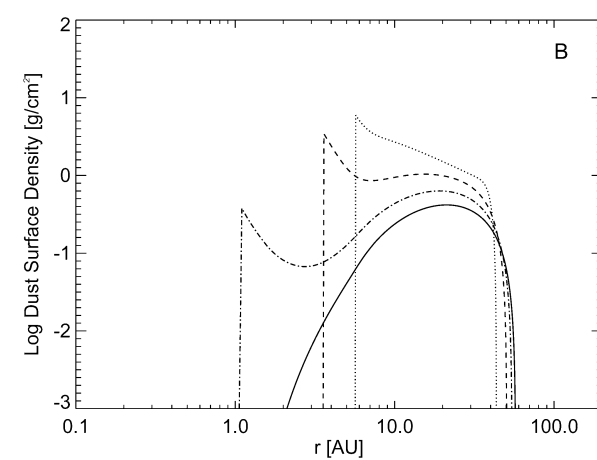
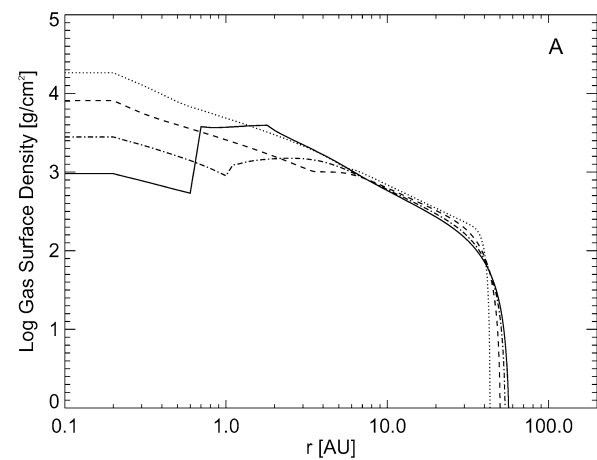
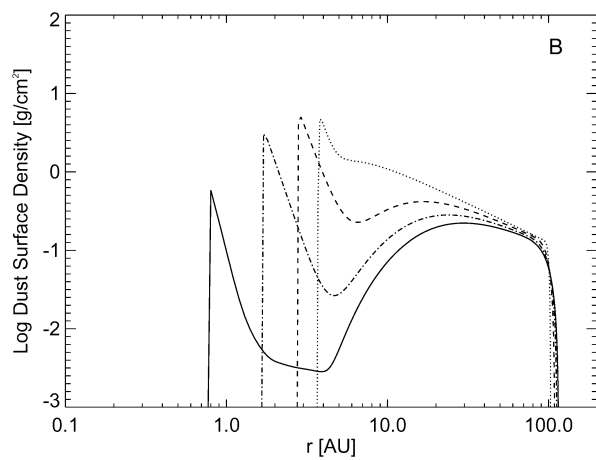
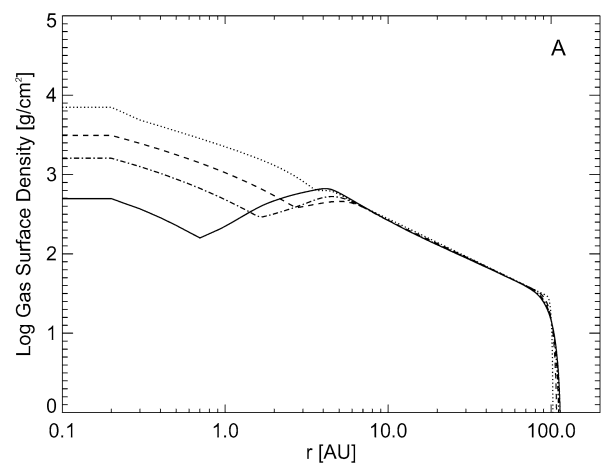
$$\Delta\Sigma_m^p = -\frac{\pi a_p^2 \Delta v_{p,m} \Sigma_m \Sigma_p}{H_m m_p} \Delta t$$

# 結果

- snow line の後ろで Dust 面密度大, ガス面密度小.
- $\tau$  が大  $\rightarrow$   $\nu$  が大
- さらに遠方の Dust が枯渇, ガス面密度の進化停止.
- Dust の極小と Migrator の極大が一致.
- Migrator の生成位置と分布のピークは一致しない.
- Migrator の“渋滞”.
- 内側円盤での水蒸気の濃集
- 外側円盤からの  $\text{H}_2\text{O}$  の輸送
- $\text{H}_2$  ガスの供給停止



# 結果



# 円盤の化学への影響

## ● 酸化的なコンドライト物質

● e.g., C コンドライト中の fayalite

● 太陽組成における酸素分圧の  $10^3$  倍が必要.

●  $H_2O$  の濃集過程だけでは説明不可能.

● シリケートの蒸発によるより酸化的环境形成?

● 母天体における水質変成の可能性.

## ● 還元的なコンドライト物質

● e.g., E コンドライト中の CaS

● 太陽組成における  $H_2O$  量の  $1/2$  まで減らす必要あり.

● 条件によっては, 数 Myr 後に実現.

● 酸化的环境との共存不可.

# まとめ

- 📌 ガス-ダスト分別・ダスト蒸発に伴う円盤組成進化シミュレーション
  - 📌 固体を3つの種族 (Dust, Migrator, Planetesimal) に分類.
  - 📌 各相・種族間の source & sink term を結構真面目に考慮.
  - 📌 各相・種族について面密度時間進化を解く.
- 📌 得られた結果
  - 📌  $\text{H}_2\text{O}$  の分配による  $\tau$  の変動が輸送過程にフィードバック.
  - 📌 snow line 以遠の広い領域で Planetesimal 面密度大.
    - 📌 複数の Gas Giant コア形成の可能性.
  - 📌 内側円盤における  $\text{H}_2\text{O}$  の濃集と欠乏.
    - 📌 コンドライト物質との関連は不明.
    - 📌 酸化的・還元的な環境を同時には作ることができない.